

Starkniederschlagshöhen und -spenden gemäß KOSTRA-DWD-2010R

Auswertungszeitraum von 1951 - 2010, Januar - Dezember

Rasterfeld: 19011

Zeile: 19

Spalte: 11

Seite: 1/2

| Dauerstufe D | Wiederkehrzeit T | | | | | | | | | | | | | | | | | | |
|--------------|------------------|------|------------|------|------------|------|------------|------|------------|------|------------|------|------------|------|------------|-------|------------|-------|------------|
| | 1 a | | 2 a | | 3 a | | 5 a | | 10 a | | 20 a | | 30 a | | 50 a | | 100 a | | |
| min | Std | mm | l / (s ha) | mm | l / (s ha) | mm | l / (s ha) | mm | l / (s ha) | mm | l / (s ha) | mm | l / (s ha) | mm | l / (s ha) | mm | l / (s ha) | mm | l / (s ha) |
| 5 | | 4,2 | 140,0 | 5,7 | 190,0 | 6,6 | 220,0 | 7,7 | 256,7 | 9,1 | 303,3 | 10,6 | 353,3 | 11,5 | 383,3 | 12,6 | 420,0 | 14,0 | 466,7 |
| 10 | | 6,8 | 113,3 | 8,8 | 146,7 | 10,0 | 166,7 | 11,4 | 190,0 | 13,4 | 223,3 | 15,4 | 256,7 | 16,6 | 276,7 | 18,0 | 300,0 | 20,0 | 333,3 |
| 15 | | 8,6 | 95,6 | 11,0 | 122,2 | 12,3 | 136,7 | 14,1 | 156,7 | 16,5 | 183,3 | 18,8 | 208,9 | 20,2 | 224,4 | 21,9 | 243,3 | 24,3 | 270,0 |
| 20 | | 9,9 | 82,5 | 12,5 | 104,2 | 14,1 | 117,5 | 16,1 | 134,2 | 18,8 | 156,7 | 21,4 | 178,3 | 23,0 | 191,7 | 25,0 | 208,3 | 27,6 | 230,0 |
| 30 | | 11,6 | 64,4 | 14,8 | 82,2 | 16,6 | 92,2 | 19,0 | 105,6 | 22,2 | 123,3 | 25,3 | 140,6 | 27,2 | 151,1 | 29,5 | 163,9 | 32,7 | 181,7 |
| 45 | | 13,1 | 48,5 | 16,9 | 62,6 | 19,1 | 70,7 | 21,9 | 81,1 | 25,7 | 95,2 | 29,5 | 109,3 | 31,7 | 117,4 | 34,5 | 127,8 | 38,3 | 141,9 |
| 60 | | 14,0 | 38,9 | 18,3 | 50,8 | 20,8 | 57,8 | 24,0 | 66,7 | 28,2 | 78,3 | 32,5 | 90,3 | 35,0 | 97,2 | 38,2 | 106,1 | 42,5 | 118,1 |
| 90 | | 15,6 | 28,9 | 20,2 | 37,4 | 23,0 | 42,6 | 26,4 | 48,9 | 31,0 | 57,4 | 35,7 | 66,1 | 38,4 | 71,1 | 41,8 | 77,4 | 46,5 | 86,1 |
| 120 | 2 | 16,8 | 23,3 | 21,8 | 30,3 | 24,6 | 34,2 | 28,3 | 39,3 | 33,2 | 46,1 | 38,1 | 52,9 | 41,0 | 56,9 | 44,6 | 61,9 | 49,5 | 68,8 |
| 180 | 3 | 18,8 | 17,4 | 24,1 | 22,3 | 27,2 | 25,2 | 31,1 | 28,8 | 36,4 | 33,7 | 41,8 | 38,7 | 44,9 | 41,6 | 48,8 | 45,2 | 54,1 | 50,1 |
| 240 | 4 | 20,2 | 14,0 | 25,9 | 18,0 | 29,2 | 20,3 | 33,3 | 23,1 | 39,0 | 27,1 | 44,6 | 31,0 | 47,9 | 33,3 | 52,1 | 36,2 | 57,7 | 40,1 |
| 360 | 6 | 22,5 | 10,4 | 28,7 | 13,3 | 32,2 | 14,9 | 36,7 | 17,0 | 42,8 | 19,8 | 48,9 | 22,6 | 52,5 | 24,3 | 57,0 | 26,4 | 63,1 | 29,2 |
| 540 | 9 | 25,1 | 7,7 | 31,7 | 9,8 | 35,6 | 11,0 | 40,5 | 12,5 | 47,1 | 14,5 | 53,7 | 16,6 | 57,6 | 17,8 | 62,4 | 19,3 | 69,1 | 21,3 |
| 720 | 12 | 27,1 | 6,3 | 34,1 | 7,9 | 38,2 | 8,8 | 43,4 | 10,0 | 50,4 | 11,7 | 57,4 | 13,3 | 61,5 | 14,2 | 66,6 | 15,4 | 73,6 | 17,0 |
| 1080 | 18 | 30,2 | 4,7 | 37,8 | 5,8 | 42,2 | 6,5 | 47,8 | 7,4 | 55,4 | 8,5 | 63,0 | 9,7 | 67,4 | 10,4 | 73,0 | 11,3 | 80,6 | 12,4 |
| 1440 | 24 | 32,6 | 3,8 | 40,6 | 4,7 | 45,3 | 5,2 | 51,2 | 5,9 | 59,2 | 6,9 | 67,3 | 7,8 | 72,0 | 8,3 | 77,9 | 9,0 | 85,9 | 9,9 |
| 2880 | 48 | 41,3 | 2,4 | 50,2 | 2,9 | 55,5 | 3,2 | 62,0 | 3,6 | 70,9 | 4,1 | 79,8 | 4,6 | 85,0 | 4,9 | 91,6 | 5,3 | 100,5 | 5,8 |
| 4320 | 72 | 47,5 | 1,8 | 56,9 | 2,2 | 62,4 | 2,4 | 69,4 | 2,7 | 78,8 | 3,0 | 88,2 | 3,4 | 93,7 | 3,6 | 100,7 | 3,9 | 110,1 | 4,2 |

Angaben in mm: Bemessungsniederschlagswerte h(n)

Angaben in l / (s ha): Regenspende R(n) mit $R(n) = h(n) \times 1,666667 / D[\text{min}]$

Toleranzbereiche:

+/- 10 % für $1 \text{ a} \leq T \leq 5 \text{ a}$

+/- 15 % für $5 \text{ a} < T \leq 50 \text{ a}$

+/- 20 % für $50 \text{ a} < T \leq 100 \text{ a}$

Datenbasis: KOSTRA-DWD-2010R des Deutschen Wetterdienstes. Die Regenspende wurde auf Basis des Bemessungsniederschlags zur jeweiligen Andauer berechnet.

Für die Richtigkeit und Aktualität der Angaben wird keine Gewähr übernommen. Erstellt 07/2022.

Starkniederschlagshöhen und -spenden gemäß KOSTRA-DWD-2010R

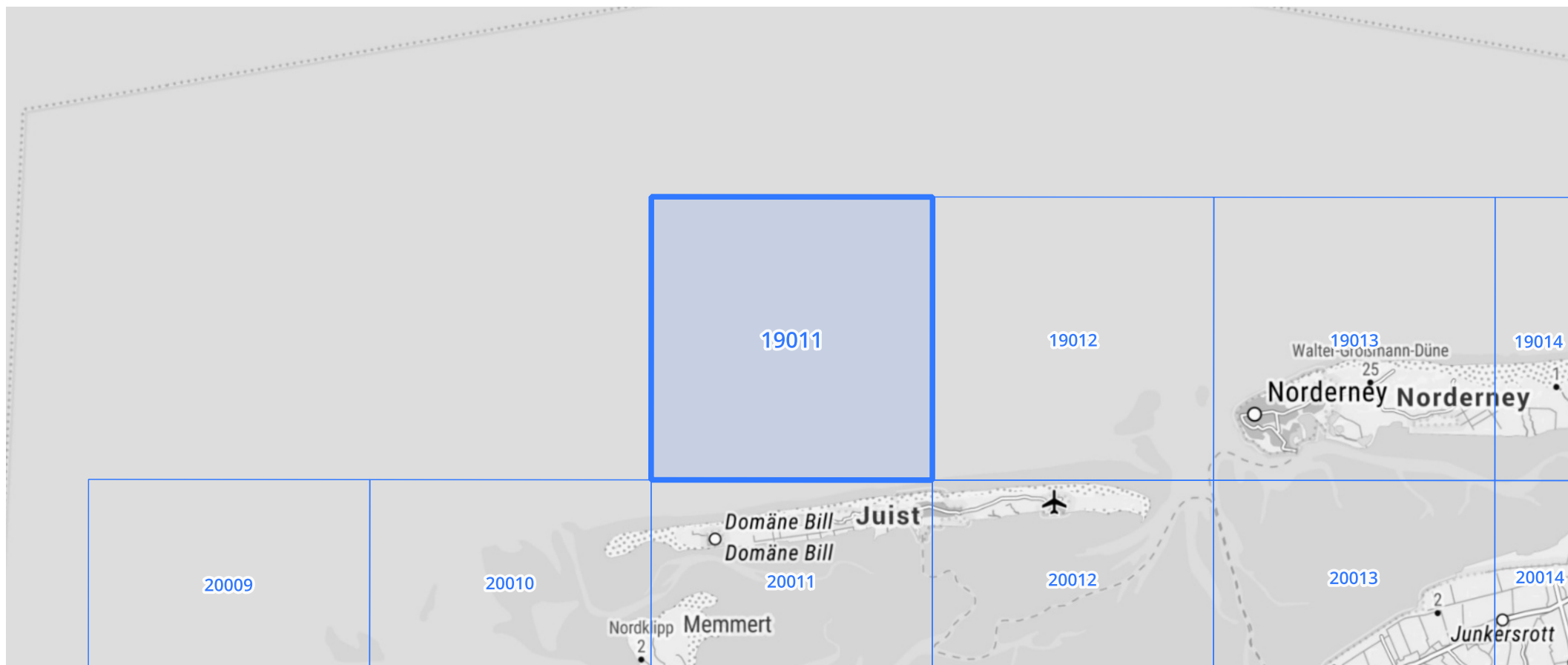
Auswertungszeitraum von 1951 - 2010, Januar - Dezember

Rasterfeld: 19011

Zeile: 19

Spalte: 11

Seite: 2/2



Quelle Rasterdaten: KOSTRA-DWD-2010R des Deutschen Wetterdienstes.

Kartendarstellung: © Bundesamt für Kartographie und Geodäsie (2022), Datenquellen: https://sgx.geodatenzentrum.de/web_public/gdz/datenquellen/Datenquellen_TopPlusOpen.html

Für die Richtigkeit und Aktualität der Angaben wird keine Gewähr übernommen. Erstellt 07/2022.